

完全非弹性蹦球的动力学行为^{*}

姜泽辉[†] 郑瑞华 赵海发 吴 晶

(哈尔滨工业大学物理系, 哈尔滨 150001)

(2005 年 11 月 29 日收到, 2006 年 11 月 16 日收到修改稿)

对振动台面上的完全非弹性球的蹦跳行为进行了初步分析. 受约化振动加速度的控制, 球的运动可以表现出一系列倍周期分岔过程. 对几种典型的倍周期运动及分岔情况进行了讨论.

关键词: 蹦球, 倍周期分岔, 混沌, 颗粒物质

PACC: 0457, 4660D, 1130N

1. 引 言

一个落在水平台面上的小球, 在连续蹦跳若干次之后会静止下来. 这是因为球与台面之间发生非弹性碰撞(碰撞恢复系数 e 介于 0 与 1 之间), 致使球的动能不断衰减. 但是, 如果台面沿竖直方向做简谐振动, 球的蹦跳运动将变得难以描述. 通过碰撞小球可以获得或失去动能, 导致球的能量可能连续累加, 也可能以某种稳定的方式进行运动. 研究表明, 这一简单系统可以表现出复杂的混沌行为^[1-14].

蹦球(bouncing ball)的运动是通过倍周期分岔进入混沌的. 倍周期分岔过程受 e 和约化振动加速度 Γ 的控制, $\Gamma = (2\pi f)^2 A/g$ (f 和 A 分别为台面的振动频率和振幅, g 为重力加速度). 当台面的振动频率与小球的蹦跳频率接近时, 通过调节 A 或 f , 可以得到小球的二倍周期运动, 四倍周期运动……, 直至混沌. 这种倍周期分岔过程的分岔点近似符合费根保姆数^[1, 5, 9, 13] (Feigenbaum constant $A.667\dots$). 虽然蹦球的运动可以通过牛顿定律确定, 但方程的解析求解却较为困难, 其复杂行为至今仍在讨论^[15-17].

蹦球问题受到关注, 与近年振动颗粒物质动力学行为的研究有关. 尤其对于振动“颗粒气”(vibrated granular gases)颗粒的浓度较稀, 可以将其看作由许多蹦球构成的系统. 通过对蹦球行为的研究可以了解“颗粒气”的某些特性^[14, 17, 18]. 对于振动颗粒床

(granular beds)颗粒浓度较大, 密堆积在一起, 颗粒之间存在着频繁的非弹性碰撞. 这导致颗粒能很快地消耗掉外界输入的动能. 正如一包沙子落到地板上不会被反弹起来一样, 颗粒床和台面(容器底)之间的碰撞可以看成是完全非弹性的. 因此, 可以通过完全非弹性蹦球($e = 0$)来模仿振动颗粒床的整体运动^[19-24].

完全非弹性蹦球的行为与一般的非弹性蹦球有很大差别. 由于球与台面之间是完全非弹性碰撞, 在某些时间段内球完全可以静止在台面上. 而对一般的非弹性蹦球, 虽然有时能够以很小的幅度在台面上连续蹦跳, 但不可能完全静止在台面上^[17, 25]. 目前, 对于完全非弹性蹦球动力学行为的了解仍不十分全面. 已经证明, 在 Γ 较小($\Gamma \leq 7$)时, 随着 Γ 的增加, 完全非弹性蹦球的运动会表现出二倍周期和四倍周期分岔^[19-24]. 最近, Mehta 和 Luck^[25, 26] 在大 Γ 近似下($\Gamma \gg 1$), 通过建立近似映射方程分析了完全非弹性蹦球分岔序列的标度特性. 认为蹦球的倍周期级联分岔(period-doubling cascade)会被突然打断, 因为球最终会落入吸收区(完全非弹性碰撞造成). 从而造成球的运动最终是周期性的, 不存在混沌运动.

最近, 我们在振动颗粒床中发现, 颗粒对容器底的冲击力是倍周期分岔的^[27-29]. 分岔序列为二倍周期, 四倍周期, 混沌, 三倍周期, 六倍周期, 混沌, 四倍周期, 八倍周期, 混沌等. 分岔过程仅受 Γ 的控制. 对于起初的二倍周期和四倍周期分岔, 可以通过完

^{*} 国家自然科学基金(批准号: 10674035)和哈尔滨工业大学跨学科交叉性研究基金(批准号: HIT.MD2002.32)资助的课题.

[†] E-mail: zehuijiang@yahoo.com

全非弹性蹦球模型给出解释¹⁹⁻²⁴],但对其后的分岔过程,文献中讨论的较少.在论文^[27-29]中,我们利用完全非弹性蹦球模型对后面的高阶分岔过程进行了讨论,但有关完全非弹性蹦球的内容只是结论性的,较为简略.本文将做适当的展开讨论,并对颗粒床实验^[25-27]中涉及到的几种典型倍周期分岔情况给出说明.

2. 模 型

假定蹦球仅在竖直方向上运动,而且碰撞对台面的运动不产生影响(台面的质量远大于蹦球的质量).台面沿竖直方向做简谐运动,其位移为

$$x(t) = A \sin(\omega t), \quad (1)$$

其中, $\omega = 2\pi f$. A 和 f 分别为台面的振幅和振动频率.假设在 $t = 0$ 时刻,小球静止在台面上并随台面一起运动.在 $t_0 = \sin^{-1}(1/\Gamma)$ 时刻,台面的加速度为 $-g$ (向上为正方向).此时,小球受到的支撑力为零,从而被抛起.小球的起跳速度为此刻台面的速度 $\dot{x}(t_0) = A\omega \cos(\omega t_0)$.之后,小球的运动轨迹由下式决定:

$$\dot{x}(t) = A\omega \cos(\omega t_0) (t - t_0) - \frac{1}{2} g (t - t_0)^2 \quad (2)$$

受重力的作用,小球在空中自由飞行一段时间后,会再次落到台面上.此刻,小球可以停留在台面上,也可以立即跳起.如果此时起跳条件 $\ddot{x}(t) \leq -g$ 得到满足,小球将立刻被抛起(起跳速度为此刻台面的速度 $\dot{x}(t)$).如果此时 $\ddot{x}(t) > -g$,小球将“粘附”在台面上随同台面一起运动,等待下一个振动周期内的起跳机会.相应地,台面的位相可以划分为发射区^[25,26] ($\ddot{x}(t) \leq -g$) 和吸收区 ($\ddot{x}(t) > -g$).小球落入发射区就立刻跳起,落入吸收区就与台面一起运动,对以前的运动状态失去“记忆”,直到遇到下一个振动周期内的发射区,再次跳起并重复以前的运动.这导致小球可以产生倍周期运动.

对一定的 Γ 值,小球在落入吸收区之前,可以连续与台面碰撞(在发射区)若干次.第 k 次碰撞的时刻 t_k 可由小球和台面的相对位移为零这一条件来确定,

$$A \sin(\omega t_{k-1}) + A\omega \cos(\omega t_{k-1}) (t_k - t_{k-1}) - \frac{1}{2} g (t_k - t_{k-1})^2 = A \sin(\omega t_k), \quad (3)$$

其中, t_{k-1} 为上次碰撞的时刻.由这一递推关系即可

计算从 t_0 起小球每次碰撞的时刻和运动轨迹.图 1 给出了 Γ 由小增大时小球的运动轨迹.图中,时间被振动周期 $T (= 1/f)$ 约化,位移被振幅 A 约化.很明显,小球的运动是倍周期的.这里,倍周期指的是,小球完成一次重复运动所需的时间是台面振动周期的整数倍.例如,图 1(b)中, $\Gamma = 4.0$ 时,小球被抛起并在空中自由飞行一段时间 Δt_1 ($\Delta t_1 > T$) 后,再次与台面碰撞(在发射区)并被抛起.再飞行一段时间 Δt_2 ($\Delta t_2 < T$) 后,直接落入吸收区,之后随台面一起运动(运动时间为 $\Delta t'$).在下一个振动周期,又遇到发射区,再次被抛起并重复前面的运动.这样,小球完成一次重复运动所需的时间为 $\Delta t_1 + \Delta t_2 + \Delta t' = 2T$,即为二倍周期运动.其他几种情况类同.

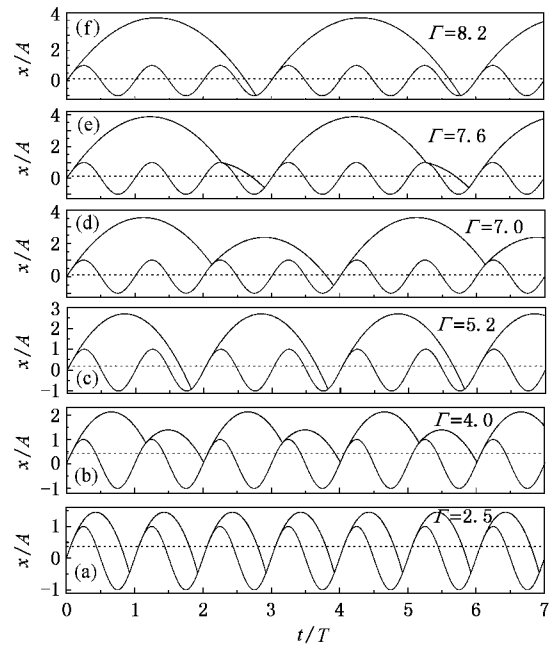


图 1 不同 Γ 值时小球的倍周期运动(由下至上,小球的运动是一倍周期,二倍周期(两跳),二倍周期(一跳),四倍周期(两跳),三倍周期(两跳),三倍周期(一跳).正弦曲线表示台面的位移.虚线表示 $x(t_0)$ 的位置,它将台面的振动相位分为吸收区(虚线以下)和发射区(虚线以上))

为了反映蹦球的倍周期分岔过程,这里着重计算小球的“着陆”速度 u 和在空中的自由飞行时间 $t_k - t_{k-1}$.由于小球与台面之间是完全非弹性碰撞,碰撞之后二者的速度相同(相对速度为零),因此碰撞时小球的入射速度(或“着陆”速度)决定碰撞强度,而碰撞强度(冲击力)是实验上较容易测定的物理量.小球相对台面的“着陆”速度由下式确定:

$$u = A\omega \cos \omega t_k - (A\omega \cos \omega t_{k-1} - g(t_k - t_{k-1})). \quad (4)$$

图 2 给出了 u 随 Γ 的变化情况, 其中 u 已被 gT 约化. 由该图可以看出, 倍周期分岔发生在约化速度取整数的地方. 对应的分岔点, 依次取值为 $\Gamma_2 = 3.72, \Gamma_4 = 6.59, \Gamma_6 = 9.63, \Gamma_8 = 12.72, \Gamma_{10} = 15.83, \Gamma_{12} = 18.96$. 下标表示倍周期数. 从这些点起 u 将被赋予两个值, 也就是经过连续两跳完成一次倍周期运动. 可以证明(见下文), 这组分岔点可以用公式表示为

$$\Gamma_{2n} = \sqrt{4 + n^2 \pi^2}, \quad (5)$$

其中, $n = 1, 2, 3, \dots$. 另一组临界点为, $\Gamma'_2 = 4.60, \Gamma'_3 = 7.79, \Gamma'_4 = 10.95, \Gamma'_5 = 14.10, \Gamma'_6 = 17.25$. 在这些点上, 小球的“着陆”速度为零, 并且由两跳的倍周期运动过渡到一跳的倍周期运动(例如, 图 1(b)和(c)(e)和(f)).

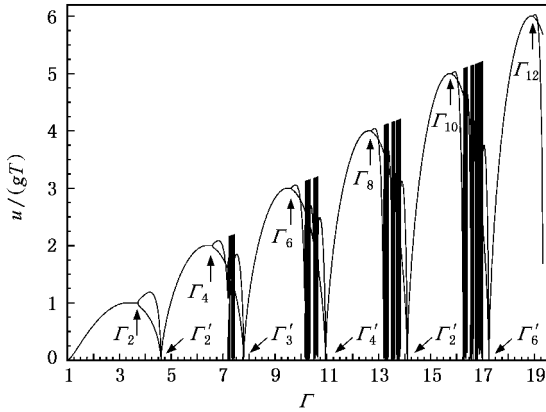


图 2 小球“着陆”速度的分岔图(u 已被 gT 约化)

计算表明, 分岔过程只受 Γ 的控制. 也就是, 在不同频率下, 逐渐增加振幅所得的分岔序列(及分岔点对应的 Γ 值)是相同的. 由图 2 可以看出, 经二倍周期和四倍周期分岔之后, 蹦球很快进入一个倍周期轨道密集区. 在这个区域内, 倍周期运动对 Γ 依赖关系比较敏感, 每一种倍周期运动的存在范围都比较窄. 继续增大 Γ , 会突然进入一个两跳的三倍周期运动(如图 1(e)), 然后是六倍周期运动, 并迅速进入另一周期轨道密集区. 之后又是新的倍周期分岔序列. 由密集区进入两跳的倍周期运动的临界点分别为 $\Gamma_3 = 7.44, \Gamma_4 = 10.66, \Gamma_5 = 13.84, \Gamma_6 = 17.01$ (图 2 中未标出). 对于二倍周期和四倍周期之后的分岔过程, 在以前的计算^[17-22]中没有明确标示出来.

图 3 给出了第一个倍周期运动密集区的放大图. 在这个区域内存在着自相似结构, 同时可以看

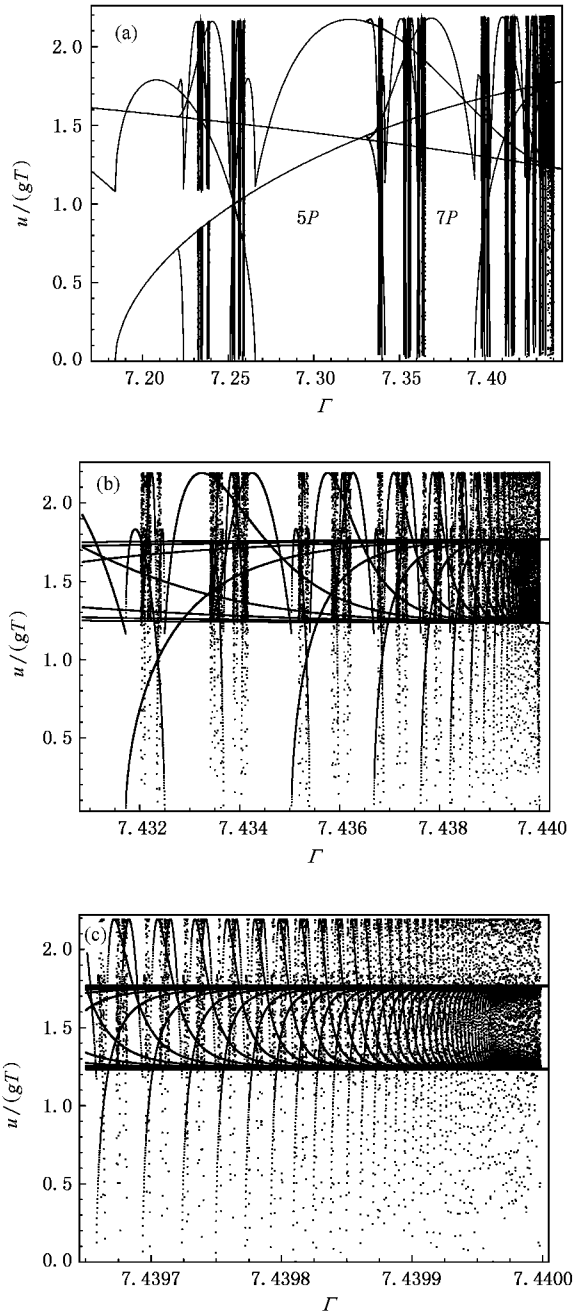


图 3 (a)第一个倍周期运动密集区的放大图. $5P$ 和 $7P$ 分别表示五倍周期和七倍周期. (b) $\Gamma = 7.43-7.44$ 的倍周期轨道. (c) $\Gamma = 7.43965-7.44$ 的倍周期轨道

出, 在这个区域内倍周期轨道随着 Γ 的增大变得越来越密集. 尤其在要离开密集区时, 倍周期轨道变得非常致密, 而且完成一次倍周期运动所需的时间逐渐加长. 例如, $\Gamma = 4.391$ 时, 小球经过连续 24 跳落入吸收区, 完成一个 35 倍周期运动(图 4 中实线); $\Gamma = 4.395$ 时, 完成一个 30 跳的 46 倍周期运动(图 4 中虚线); $\Gamma = 4.44$ 时, 连续跳跃 363 次落入吸收区.

这些情况中,开始时的若干次跳跃轨迹几乎重合(因为 Γ 值比较接近)而且近似于三倍周期运动,之后逐渐偏离,最终落入吸收区.但是随着 Γ 的进一步增大,连续跳跃的次数迅速增加,如,在 $\Gamma = 4.44001$ 时跳跃 10^4 次仍未落入吸收区.但增加到 $\Gamma = 7.4428921$ 时,仅两跳既落入吸收区形成三倍周期运动.

在振动颗粒床中观察到的倍周期分岔过程与这里计算的相同^[25-27],只是轨道密集区对应为混沌.实验中是通过压力传感器来测量颗粒对容器底的冲击作用,并通过快速傅里叶变换(FFT)对信号进行频谱分析.倍周期运动对应分立谱,混沌对应连续带状(远高于噪声水平)谱^[29].振动颗粒床实验中观察到混沌,可能是由于数据采集率(25 kS/s)不够高、实验系统中不可避免的“噪声”以及对长周期运动不易分辨等因素造成的.

另外,计算中假定了开始时蹦球是静止在台面上的,满足起跳条件时才跳起.这实际上相当于对初始条件做了限制.严格讲,应该让小球在任意时刻以任意速度落向台面,然后考察其运动情况.但是,如果起始时,小球直接落入吸收区,无论初始状态如何,小球都随台面一起运动,之后遇到发射区时被抛起.其后的运动情况与前面的计算相同.如果起始时,小球落在发射区,小球会立刻被抛起,但起跳速度又变成这一时刻台面的速度(完全非弹性碰撞造成).我们的数值计算表明,其后小球可以连续蹦跳若干次,但最终仍会落入吸收区,其后的运动情况又与前面的计算相同.文献[25, 26]在大 Γ 近似下($\Gamma \gg 1$)对分岔序列进行了标度分析.认为完全非弹性蹦球不存在混沌运动(只有当 e 接近于 1 时才可能出现).这与我们的数值结果相同.

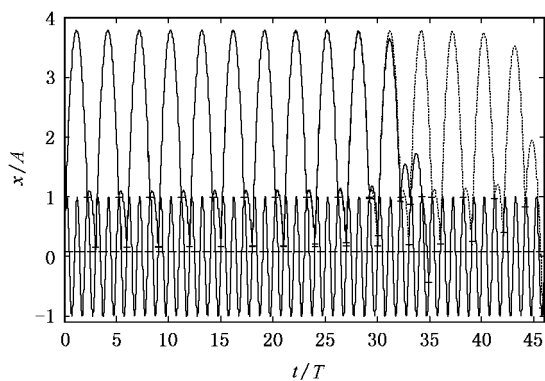


图4 $\Gamma = 4.39$ (实线)和 4.395 (虚线)时,蹦球的运动情况(正弦线为台面的运动轨迹,虚线表示 $x(t_0)$ 的位置)

图5给出了蹦球每次跳起在空中自由飞行的时间 $t_k - t_{k-1}$ 随 Γ 的变化情况.飞行时间被台面振动周期 T 约化.其分岔序列与 u 的情况完全相同.但在密集区内会出现时间“禁带”,而且每条“禁带”的宽度基本不变.以第一个密集区为例,开始时“禁带”宽度为 0.42,离开混沌区时宽度为 0.46.出现禁带的原因是在这个范围内,球的最后一跳的轨迹会与台面的轨迹相切(在发射区内),而 Γ 的微小增加会导致蹦跳次数增加或减少一次.增加或减少的一次跳跃的飞行时间正是禁带宽度.

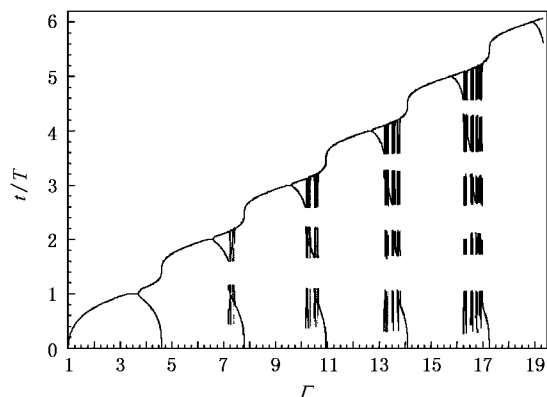


图5 自由飞行时间的分岔图

3. 两种特殊情况的讨论

由图2和图5可以看出,在每个倍周期分岔(Γ_{2n})之前, $u(\lambda/gT)$ 和 t/T 都有一个取值为整数的“平台”,而且“平台”的宽度随着 Γ 的增加越来越小.由于 Γ 在这个范围内取值时,蹦球可以形成一种不落入吸收区的稳定倍周期运动.以图1(c)的二倍周期为例,当 Γ 由 5.2 逐渐往上增加时,蹦球在吸收区的落点逐渐升高并接近发射区.当 $\Gamma = \sqrt{1 + 2^2 \pi^2}$ 时,落点刚好到达发射区(图中虚线所在位置),蹦球立刻起跳并进行稳定的重复跳跃.当继续增加 Γ 时,蹦球开始时进行一高一低的跳跃,但这种跳跃并不稳定,逐渐演化成一种每次都跨越两个振动周期,跳跃高度相同的连续跳跃的二倍周期运动,见图6.

可以证明,在各“平台区”内的这种每次跨越 m 个振动周期的连续跳跃(在发射区内),所形成的“平台”的宽度依次为 $\sqrt{1 + m^2 \pi^2} \leq \Gamma \leq \sqrt{4 + m^2 \pi^2}$, $m = 1, 2, 3, \dots$.

对(3)式进行微分,并令 dt_k/dt_{k-1} 的绝对值小于

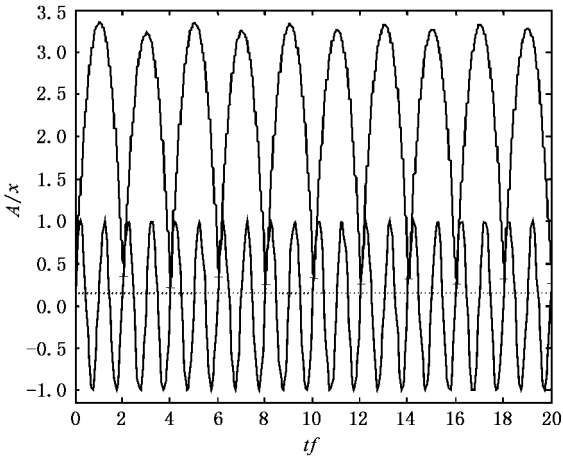


图 6 $\Gamma = \sqrt{1 + 2^2 \pi^2} + 0.2 = 6.56$ 时, 蹦球的运动轨迹(每次碰撞的位置由“+”号标出, 随着时间的推移碰撞位置逐渐持平, 虚线表示 $x(t_0)$ 的位置)

等于 1,

$$\left| \frac{dt_k}{dt_{k-1}} \right| = \left| \frac{(g - A\omega^2 \sin(\omega t_{k-1})) (t_k - t_{k-1})}{A\omega(\cos(\omega t_k) - \cos(\omega t_{k-1})) + g(t_k - t_{k-1})} \right| \leq 1. \quad (6)$$

此式表示每次跳跃的时间偏差会随着跳跃的进行越来越小, 从而可以最终形成稳定的周期轨道. 考虑到形成稳定运动时 $t_k - t_{k-1} = mT$, $m = 1, 2, 3, \dots$, 及现在的跳跃都是在初始起跳点 t_0 之上(发射区内)进行的, 有

$$\sin(\omega t_{k-1}) = \sin(\omega t_k) \geq \sin(\omega t_0) = \frac{1}{\Gamma}. \quad (7)$$

另外, 起跳速度和自由飞行时间还满足关系式,

$$\frac{2\Gamma}{\omega} \cos(\omega t_{k-1}) = mT = \frac{2\Gamma}{\omega} \cos(\omega t_k), \text{ 即}$$

$$\cos(\omega t_{k-1}) = \cos(\omega t_k) = \frac{m\pi}{\Gamma}. \quad (8)$$

综合(6)–(8)式可得

$$1 \leq |\Gamma \sin(\omega t_{k-1})| \leq 2. \quad (9)$$

再利用(8)式, 得

$$\sqrt{1 + m^2 \pi^2} \leq \Gamma \leq \sqrt{4 + m^2 \pi^2}. \quad (10)$$

上式即为第 m 个“平台”的宽度, 显见随着 m 的增加这个宽度越来越小. 在这个区间内, 蹦球的最终运动状态是跳起位置和“着陆”位置相同. (10)式右端对应的其实是(5)式给出倍周期分岔点. 再利用(8)式很容易证明, 球的约化“着陆”速度(u/gT)就是整数 m . 当 Γ 大于这个分岔点时, 蹦球开始时仍是一高一低的连续跳跃, 但这种一高一低的运动方式最终会趋于稳定, 形成稳定的不落入吸收区的倍周

期运动. 但是当 Γ 继续增大到一定程度时, 蹦球就可以通过直接落入吸收区来产生倍周期运动(如图 1(b) 和(e)).

蹦球的另一种典型的蹦跳方式是, 从发射区的起始处跳起, 飞行一段时间后, 落在另一发射区的终结处, 而且“着陆”速度为零. 也就是相对地面而言, 起跳高度与“着陆”高度相同. 这些临界点对应图 2 中的 Γ'_k ($k = 2, 3, 4, \dots$). 作为一例, 图 7 给出了 $\Gamma = 4.6033$ 时蹦球的运动轨迹, 在“着陆”处球的运动轨迹与台面的相切.

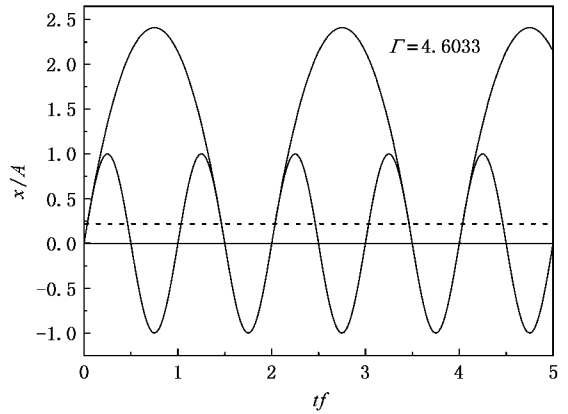


图 7 $\Gamma = 4.6033$ 时蹦球的运动轨迹

对于一个以这种方式完成 k 倍周期运动的蹦球来说, 它的自由飞行时间与起跳速度存在如下关系:

$$kT + \frac{\pi}{\omega} - 2t_0 = 2 \frac{x(t_0)}{g} = \frac{2}{\omega} \sqrt{\Gamma^2 - 1}. \quad (11)$$

将 $t_0 = \sin^{-1}(1/\Gamma)$ 代入上式, 可得

$$\sin^{-1} \frac{1}{\Gamma} = \sqrt{\Gamma^2 - 1} - \left(k + \frac{1}{2}\right)\pi. \quad (12)$$

数值求解该方程, 即可得到前文给出的临界值 Γ'_k . 这些临界值可用如下近似式来表示:

$$\Gamma'_k \approx \sqrt{\left(k - \frac{1}{2}\right)^2 \pi^2 - 1}, \quad k = 2, 3, 4, 5, \dots \quad (13)$$

4. 结 论

对完全非弹性蹦球产生倍周期运动的物理过程进行了分析, 表明这种简单体系可以表现出非常复杂的行为. 计算表明, 随着 Γ 的增加, 蹦球会出现一系列的高阶倍周期分岔. 在一些较窄的 Γ 值范围内, 存在倍周期运动密集区. 在密集区内, 蹦球的运动对 Γ 的依赖较为敏感. 需要指出的是, 这里所做

的讨论仍是初步的并不全面,许多问题还有待进一步分析.比如, Γ 进一步增大时倍周期分岔的情况

如何,密集区内的运动有何特征等.另外,密集区内是否存在混沌还应寻找更直接的证据.

- [1] Tuffillaro N B , Abbott T , Reilly J 1992 *An Experimental Approach to Nonlinear Dynamics and Chaos* (Addison-Wesley Publishing Company)
- [2] Takahashi H , Suzuki A , Tanaka T 1969 *Powder Tech.* **2** 65
- [3] Suzuki A , Takahashi H , Tanaka T 1969 *Powder Tech.* **2** 72
- [4] Holmes P J 1982 *J. Sound Vibration* **84** 173
- [5] Pierański P 1983 *J. Phys.* **44** 573
- [6] Pierański P , Kowalik Z , Franaszek M 1985 *J. Phys.* **46** 681
- [7] Pierański P , Małecki J 1986 *Phys. Rev. A* **34** 582
- [8] Kowalik Z J , Franaszek M , Pierański P 1988 *Phys. Rev. A* **37** 4016
- [9] Tuffillaro N B , Albano A M 1986 *Am. J. Phys.* **54** 939
- [10] Zimmerman R L , Celaschi S 1988 *Am. J. Phys.* **56** 1147
- [11] Paskota M 1998 *Chaos , Solitons and Fractals* **9** 323
- [12] Franaszek M , Isomaki H M 1991 *Phys. Rev. A* **43** 4231
- [13] Tuffillaro N B 1994 *Phys. Rev. E* **50** 4509
- [14] Warr S , Cooke W , Ball R C , Huntley J M 1996 *Physica A* **231** 551
- [15] Naylor M A , Sanchez P , Swift M R 2002 *Phys. Rev. E* **66** 57201
- [16] Giusepponi S , Marchesoni F 2003 *Europhys. Lett.* **64** 36
- [17] Giusepponi S , Marchesoni F , Borromeo M 2005 *Physica A* **351** 142
- [18] Linz S J , Hänggi P 1994 *Phys. Rev. E* **50** 3464
- [19] Brennen C E , Ghosh S , Wassgren C R 1996 *J. Appl. Mech.* **63** 156
- [20] Wassgren C R , Brennen C E , Hunt M L 1996 *J. Appl. Mech.* **63** 712
- [21] Luding S , Clement E , Blumen A , Rajchenbach J , Duran J 1994 *Phys. Rev. E* **49** 1634
- [22] Melo F , Umbanhowar P B , Swinney H L 1995 *Phys. Rev. Lett.* **75** 3838
- [23] Moon S J , Shattuck M D , Bizon C , Goldman D I , Swift J B , Swinney H L 2001 *Phys. Rev. E* **65** 11301
- [24] Miao G , Sui L , Wei R 2001 *Phys. Rev. E* **63** 31304
- [25] Luck J M , Mehta A 1993 *Phys. Rev. E* **48** 3988
- [26] Mehta A , Luck J M 1990 *Phys. Rev. Lett.* **65** 393
- [27] Jiang Z H , Li B , Zhao H ,F Wang Y Y , Dai Z B 2005 *Acta Phys. Sin.* **54** 281 (in Chinese) [姜泽辉、李 斌、赵海发、王运鹰、戴智斌 2005 物理学报 **54** 281]
- [28] Jiang Z H , Liu X Y , Peng Y J , Li J W 2005 *Acta Phys. Sin.* **54** 5692 (in Chinese) [姜泽辉、刘新影、彭亚晶、李建伟 2005 物理学报 **54** 5692]
- [29] Jiang Z H , Wang Y Y , Wu J 2006 *Europhys. Lett.* **74** 417

Dynamical behavior of a completely inelastic ball bouncing on a vibrating plate *

Jiang Ze-Hui[†] Zheng Rui-Hua Zhao Hai-Fa Wu Jing

(Department of Physics , Harbin Institute of Technology , Harbin 150001 , China)

(Received 29 November 2005 ; revised manuscript received 16 November 2006)

Abstract

A simple analysis for the behavior of a completely inelastic ball bouncing on a vertically vibrating plate has been given. Controlled by the normalized vibration acceleration, the ball undertakes a serials of subharmonic bifurcations. Several typical bifurcation processes are discussed.

Keywords : bouncing ball , period-doubling bifurcations , chaos , granular materials

PACC : 0457 , 4660D , 1130N

* Project supported by the National Natural Science Foundation of China (Grant No. 10674035) and the Multidiscipline Scientific Research Foundation of Harbin Institute of Technology (Grant No. HIT. MD2002.32).

[†] E-mail : zehuijiang@yahoo.com